

مراحل مختلف کانه‌زایی سولفید توده‌ای آتشفشان‌زاد سرگز، شمال باختر

جیرفت، سندج - سیر جان جنوبی

زهراء بدرزاده^{۱*}، مسیب سبزه‌منی^۲، ابراهیم راستاد^۳، محمد هاشم امامی^۴ و دومینتو خیمنو^۵

^۱ گروه زمین‌شناسی، دانشکده علوم پایه، دانشگاه تربیت مدرس، تهران، ایران.

^۲ اسازمان زمین‌شناسی و اکتشافات معدنی کشور، تهران، ایران.

^۳ دانشگاه بارسلونا، بارسلونا، اسپانیا.

تاریخ دریافت: ۱۳۸۷/۰۲/۰۳ تاریخ پذیرش: ۱۳۸۸/۰۱/۱۷

چکیده

کانسار سولفید توده‌ای سرگز، در شهرستان جیرفت (جنوب خاور استان کرمان) در پهنه سندج-سیر جان جنوبی واقع است. بازالت‌های بالشی با سن احتمالی تریاس بالایی-ژوراسیک زیرین و با گسترش حدود ۲ کیلومتر مربع، سنگ میزان کانسار سولفید توده‌ای سرگز هستند. رخداد کانه‌زایی در درون سنگ‌های بازالتی تا آندزی بازالتی، وجود افق ژاپلیت و لایه‌های آهن-منگت در بخش‌های جانبه کانسار، تشکیل منطقه کانی سازی رشتی (Stringer Zone) به طور نامهشیب با توده معدنی، وجود پریت به عنوان کانی سولفیدی اصلی، وجود ساخت و بافت برشی و وجود منطقه‌بندی کانی‌ای در توده معدنی، همگی حاکی از این است که کانسار سرگز از نوع کانسارهای سولفید توده‌ای آتشفشان‌زاد است. کانی شناسی این کانسار، ساده و به طور عملده شامل کانی‌های پریت، کالکوپیریت و اسفالریت است. وجود نسل‌های مختلف کانی‌ها در توده معدنی، تفاوت در شکل، انداز، رابطه متقابل بین کانی‌ها، تأثیر و قسم در رشد کانی‌ها، بافت‌های جایگزینی، تشکیل بافت‌های برشی گسترد و منطقه‌بندی کانی‌ای آن نشان‌های تاریخچه تکامل پیچیده کانسار و حاکی از فرایندهای همزمان و پس از نهشت کانسنسنگ است. براساس مطالعات کانی‌شناسی و ساخت و بافت، چهار مرحله اصلی کانه‌زایی تشخیص داده شد. مرحله اول عمده‌های همراه با تشکیل کانی‌های سولفیدی به صورت پریت‌های غنی از As و مقادیر فرعی اسفالریت، کوارتز و باریت است. پریت فرامبوییدال و پریت و اسفالریت کولوفرم در این مرحله تشکیل شده‌اند. در این مرحله همچنین، ریزش دود کش سولفیدی، احتمالاً بواسطه انحلال زمینه ایندریتی، موجب تشکیل ایجادهایی از برش‌های سولفیدی شده است. مرحله دوم با تشکیل کانی‌های پریت، اسفالریت، تنانیت-تراهریت و گالن به صورت وجه‌دار و دانه درشت دنبال شده است که کانی پریت نسبت به پریت‌های مرحله اول دارای میزان کیلت بالاتری است. در مرحله سوم، سولفیدهای مرحله اول و دوم تحت تأثیر فرایند پالایش زونی (Zone Refining) و جایگزینی توسط کالکوپیریت قرار گرفته‌اند. در این مرحله، زون غنی از کالکوپیریت در بخش زیرین و زون غنی از اسفالریت، تنانیت-تراهریت و مقدار کم گالن در بخش بالایی کانسار طی فرایند پالایش زونی تشکیل شده است. در مرحله چهارم، کالکوپیریت تنشست یافته در بخش زیرین کانسار، تحت تأثیر فرایند یادشده بازیافت (Over Refining)، شسته شده و همراه با کربنات جایگزین کننده باریت، زون غنی از اسفالریت و کالکوپیریت را در بخش بالایی کانسار تشکیل داده و زون غنی از پریت را در بخش زیرین بر جای گذاشته است.

کلید واژه‌ها: سولفید توده‌ای، پالایش زونی، بازالت، سندج-سیر جان، سرگز، ایران

*نویسنده مسئول: زهراء بدرزاده

E-mail: zahrabadrzadeh@yahoo.com

۱- مقدمه

سنگ‌نگاری بیش از ۳۰۰ مقطع نازک-صیقلی و صیقلی، تجزیه SEM و XRD، الکترون میکروپریوب در دانشگاه بارسلونا به دست آمد است. ترکیب شیمیایی کانی‌های سولفیدی موجود در بخش‌های مختلف سولفید توده‌ای سرگز با استفاده از دستگاه الکترون میکروپریوب ۵۰ nA، در شرایط ۲۰ KV و ۲۰ A تعیین شده و نتایج حاصل، در جدول ۱ آمده است. تجزیه شیمی کل نمونه‌های سنگی مربوط به ترکیب‌های سنگی مختلف نیز در دانشگاه بارسلونا کشور اسپانیا به روش ICP-AES، ICP-MS و XRF انجام گرفته است.

۲- جایگاه زمین‌شناسی منطقه

منطقه مورد مطالعه از نظر ساختاری، وابسته به زون سندج-سیر جان جنوبی است و در انتهای جنوب خاوری این زون قرار گرفته است (شکل ۱). ویژگی‌های زمین‌شناسی منطقه بدین قرار است:

(۱) مجموعه‌های دگرگونی پالتوزوییک (شکل ۲) با سن کامبرین زیرین تا پرمن بالایی و تریاس زیرین که به صورت رخمنونهای کوچک در خاور منطقه قرار دارند و در محلوده مورد مطالعه واقع نمی‌شوند. این مجموعه متحمل دگرگونی و دگرگشکلی شدید شده و درجه دگرگونی آنها در حد رخساره شیست سبز زیرین تا رخساره آمفیولیت است. مرز زیرین این مجموعه‌ها رخمنون ندارد و مرز بالایی آنها با گدازه‌های بالشی دگرگشیب است. این سنگ‌ها شامل شیست‌های سبز، کالک‌شیست

کانسار سولفید توده‌ای مس-روی سرگز در عرض جغرافیایی $44^{\circ} 28^{\prime}$ و طول جغرافیایی $57^{\circ} 21^{\prime}$ در جنوب خاور استان کرمان و 40 کیلومتری شمال باختر شهرستان جیرفت قرار گرفته است. وجود مقادیر بسیار عظیم سرباره‌های ذوب مس و کنده کاری قدیمی حاکی از این است که این کانسار از دیرباز به عنوان یک منطقه معدنی مس مورد توجه بوده است. با توجه به این که رخمنونهای شاخص و قابل توجهی از کانسار در منطقه دیده نمی‌شود، مجموعه‌ای از روش‌های اکتشاف مقدماتی شامل روش‌های ژئوفیزیکی و زمین‌شناسخی در سال ۱۳۷۹ انجام گرفت (سبزه‌منی و یوسفی، ۱۳۷۹؛ سبزه‌منی و یوسفی، ۱۳۸۱؛ ۱۳۸۱؛ ۱۳۸۰؛ ۱۳۸۰) و منجر به تعیین محل اولین چاه حفاری در موقعیت چاه شماره ۱ شد که در ژرفای ۲۲ متر به سولفید توده‌ای به سمتراست تقریبی 30 متر برخورد کرد. ویژگی منطقه‌بندی کانی‌ای در این کانسار نشان از تشکیل کانسار، طی مراحل مختلف دارد. به منظور ارتباط منطقه‌بندی کانی‌ای دیده شده در کانسار سرگز با تکامل آن در زمان و مکان، لازم است اطلاعاتی در مورد توالی تنشست کانی‌ها و همبود (پاراژنر) آنها داشته باشیم. هدف نگارنده‌گان از ارائه این نوشتار تعیین ویژگی‌های ساختاری و منطقه‌بندی کانی‌ای در بخش سولفید توده‌ای است.

۳- روش‌های تعزیزی و داده‌ها

کانی‌شناسی و همبودهای کانسار براساس مطالعات مغزه‌های حفاری، مطالعه

در محدوده معدن بین گدازه‌های بالشی زیرین و گدازه‌ها و آذرآواری‌های بالایی (شکل ۲)، در بخش‌های جانبی کانسار تشکیل شده است. گسترش این واحد به ۵۰۰ متر و سبیرای آن پیشینه به حدود ۳ متر می‌رسد که در برخی موارد در نتیجه عملکرد گسل، ناپدید شده است. گسترش این افق پیشتر در منطقه معدن است (شکل ۱). گدازه‌های بازی با سن تریاس بالایی - ژوراسیک زیرین (نقشه ۱:۱۰۰۰۰) میزان کانسار سرگز هستند. این سنگ‌ها در نمودار Zr/TiO₂ در برابر Y/Nb (Winchester & Floyd, 1977) در درون محدوده بازالت تا آندزیت/ بازالت‌های نیمه‌قلایی قرار می‌گیرند (شکل ۳). این گدازه‌ها که در توالی چینه‌شناختی منطقه، واحدهای قدیمی و اصلی توالي را تشکیل داده‌اند، به طور چیره، ساخت بالشی دارند. در منطقه دور از کانسار، این سنگ‌ها دگرسان و به طور بخشی تا کامل، به مجموعه کلریت، اپیدوت، آلتیت، اکتینولیت، کوارتز، کربنات، اسفن، لوکوسن تبدیل شده‌اند و دارای مقادیر فرعی پیریت به صورت افسان و دانه‌ریز هستند. این سنگ‌ها که مجموعه کانی‌های ثانویه مشابه با همبودهای رخساره شیست سبز دگرگونی ناحیه‌ای را نشان می‌دهند، در واقع ناشی از دگرسانی گرمایی هستند که به دگرگونی کف اقیانوس معروف است و متفاوت از دگرسانی شدیدی است که در منطقه بی‌فاصله کانه‌زایی رخ داده است. در این بخش‌ها، دگرسانی چندان شدید نیست و ساخت و بافت اولیه سنگ به طور کامل حفظ شده است. با این حال، در بخش‌های نزدیک به کانسار سولفید توده‌ای، رخنمونهای کوچکی از سنگ‌هایی با رنگ سبز روشن در بین سنگ‌های بازالتی میزان دیده می‌شود که اپیدوزیت نام دارند. اپیدوزیت‌ها در واقع سنگ‌های بازالتی اولیه بوده‌اند که بافت اولیه خود را از دست داده‌اند و بافت گرانولاستیک نشان می‌دهند. این سنگ‌ها شامل مجموعه کانی‌های اپیدوت، کوارتز و مقدار کمی کلریت هستند. اپیدوزیت‌های منطقه نیز همانند اپیدوزیت‌های همراه با دیگر کانسارهای سولفید توده‌ای (Seyfried & Bischoff, 1981; Alt, 1999) در نتیجه عملکرد سیالهای گرمایی دما بالا، نسبت به سنگ‌های بازالتی میزان بهشت از عناصر مس و روی تهی شده‌اند. گدازه‌های بالشی بازالتی میزان کانسار سولفید توده‌ای، بافت اینترسال پورفیری و بادامکی (آمیگدالوییدال) دارند، دانه‌ریز و به رنگ سبز تیره هستند. با توجه به بافت‌ها و قالب کانی‌های حفظ شده، این گدازه‌ها دارای درشت بلورهای پلازیوکلاز وجه دار با قطر حدود ۲-۵ میلی‌متر و پیروکسن با قطر ۳-۵ میلی‌متر بوده‌اند که در زمینه‌ای دانه‌ریز دارای میکرولیت‌های پلازیوکلاز و زمینه بین دانه‌ای کلریتی شده به همراه اسفن قرار داشته‌اند. درشت بلورهای پلازیوکلاز و پیروکسن به طور محلی گلومروپورفیریتیک هستند که در نتیجه دگرگونی کف اقیانوس، درشت بلورهای پلازیوکلاز و نیز میکرولیت‌ها به طور کامل توسط آلتیت جایگزین شده‌اند. درشت بلورهای کلینوپیروکسن نیز به طور کامل تبدیل به کلسیت، کلریت و اپیدوت شده‌اند. فازهای کدر که پیشتر تیناتومگنتیت \pm مگنتیت هستند نیز تبدیل به کانی شبه اسفن شده‌اند. لکه‌هایی از کلریت و اکتینولیت در زمینه سنگ وجود دارد که از تبدیل شیشه زمینه حاصل شده‌اند. کانی‌های اپیدوت و کلسیت نیز هم در زمینه و هم در آمیگدال‌ها دیده می‌شوند. به طور کلی آمیگدال‌ها توسط کلسیت، کلریت، کوارتز و اپیدوت به نسبت‌های متغیر پر شده‌اند. تمامی این ویژگی‌ها و مجموعه کانی‌ها، مشخصه مجموعه کانی‌ای رخساره شیست سبز ناشی از دگرگونی کف دریا است (Humphris & Thompson, 1978; Honnorez, 2003) Nb/Y و داده‌های عناصر کمیاب، سنگ‌های منطقه ماهیت نیمه‌قلایی داشته و ویژگی تولیتی تا انتقالی (ترانزیشنال) دارند (شکل ۳). با توجه به دگرسانی شدید سنگ‌های منطقه، تعیین ماهیت این سنگ‌ها براساس عناصر کمیاب نامتحرك انجام گرفته است. این رو تعیین ماهیت این سنگ‌ها براساس عناصر کمیاب نامتحرك انجام گرفته است. روش بسیار ساده طبقه‌بندی سنگ‌ها با استفاده از عناصر کمتر متحرك استفاده

و متابلیت و متعلق به کمپلکس سرگز- آبشور هستند (Sabzehei, 1974). ۲ سنگ‌های خروجی با ظاهری تیره و سبزرنگ به صورت گدازه‌های بالشی و کمتر به صورت توده‌ای با ترکیب بازالتی در پایینی ترین بخش از توالی ژوراسیک (شکل ۲) قرار گرفته و بیشترین وسعت را در منطقه دارند. قاعده این سنگ‌ها رخنمون ندارد و براساس روابط صحرایی و با توجه به این که سنگ‌آهک کالپیونلادر مربوط به ژوراسیک بالایی تا نتوکومین به صورت ناپیوسته و همشیب (Sabzehei, 1974) شهرکی قدیمی، (۱۳۸۲) بر روی سنگ‌های آتشفشنی و رسوبات نوع فلیش قرار گرفته است، این سنگ‌ها مربوط به پیش از ژوراسیک بالایی و به احتمال متعلق به تریاس بالایی- ژوراسیک زیرین هستند. این گدازه‌ها پیروکسن- پلازیوکلاز پورفیری هستند و بیشترین سبیرای آنها در محدوده معدن حدود ۱ کیلومتر است که به سمت خاور و جنوب خاور، سبیرای آنها افزایش می‌یابد و امتداد تقریبی آنها شمال باخته- جنوب خاور با شبیه جنوب باخته است. گدازه‌های بالشی بهشت دگرسان شده‌اند، ضمن این که سپس تحت تأثیر سیال‌های حاصل از نفوذ توده‌های اسیدی با سن احتمالی ژوراسیک زیرین (شکل ۲) اپیدوتی نیز شده‌اند. اهمیت این واحد، وجود ذخایر سولفیدی در آن است. در منطقه زیر کانسار، این سنگ‌ها تحت تأثیر سیال‌های گرمایی دما بالا بهشت دگرسان شده‌اند و دارای رگ و رگجه‌های استوکورک هستند. ۳ گدازه‌های بالشی بازالتی بالشی با تابوی از آذرآواری‌ها و گدازه‌های پورفیری با ترکیب آندزیتی پوشیده شده‌اند که بیانگر شروع دوباره فاز آتشفشنی در ژوراسیک است. واحدهای آذرآواری به صورت متنابض با گدازه‌های آندزیتی قرار گرفته‌اند. سبیرای این واحد به ۱ کیلومتر می‌رسد.

۴ واحدهای بالا، با تابوی از شیل، ماسه‌سنگ، گدازه و توف با ترکیب ریوداسیتی پوشیده می‌شوند. در درون این واحدهای افق‌های غنی از آهن- منگنز و چرت‌های لایه‌ای رادیولردار دیده می‌شود. این واحد در واقع شروع آتشفشنی اسیدی در منطقه است که با نفوذ گبدهای ریوداسیتی دنبال شده است. گندلهای اسیدی با حجم زیاد واحدهای آتشفشنی و آذرآواری‌های زیرین را قطع کرده‌اند (شکل ۲). با توجه به روابط صحرایی نفوذ گبدهای اسیدی در منطقه پس از تشکیل واحد آذرآواری آندزیزی بازالتی و توالی دوم آتشفشنی بوده است.

این واحدها ساخت منشوری در بخش میانه گند و ساختهای جریانی در بخش‌های حاشیه آن دارند و دگرسانی وسیع اپیدوتی را در سنگ‌های آتشفشنی قدیمی باعث شده و در حاشیه تشکیل اپیدوت داده‌اند. در بخش جنوب خاوری منطقه، توده‌های گرانودیوریتی با ترکیب سدیمی که معادل درونی واحدهای ریوداسیت سدیمی هستند، در میان گدازه‌های بازالتی بالشی نفوذ کرده‌اند.

۵ واحدهای بالا توسط سنگ‌های رسویی سیار سبیر میانه شیل، ماسه‌سنگ، کلگومرا و گاهی توف با رخساره فلیشی (واحد ۵، شکل ۲) پوشیده شده‌اند. این واحدها با شبیه و امتداد موازی با واحدهای زیرین قرار گرفته‌اند.

۶ رسوبات نوع فلیش به طور ناپیوسته و همشیب توسط آهک‌های لایه‌ای خاکستری تا خاکستری تیره دارای سنگواره کالپیونلای مربوط به ژوراسیک بالایی تا نتوکومین پوشیده می‌شوند (شکل ۲). واحدهای بالا توسط یک سری دایک‌های مافیک و فلیسیک (شکل‌های ۱ و ۲) با روند چیره خاوری- باخته قطع شده‌اند.

۴- زمین‌شناسی کانسار

با توجه به نبود بروزدهای مناسب از کانسار در منطقه، بررسی موقعیت ساختاری کانسار و سنگ‌های میزان آن به بررسی روابط صحرایی، وجود افق ژاسپلیت و مطالعه مغزه‌های حفاری محدود می‌شود. افق ژاسپلیت به صورت یک لایه شاخص

دارند و نسبت سیمان سیلیسی به قطعات سولفیدی به بیش از ۴۰٪ می‌رسد. این بخش از برش‌های سولفید-کوارتز توسط رگه و رگچه‌های کالکوپیریت-پیریت قطع شده‌اند.

۲-۵. زون سولفید توده‌ای

زون سولفید توده‌ای دارای ساختهای برشی و توده‌ای است و منطقه‌بندی کانی‌شناسی به نمایش می‌گذارد. ویژگی منطقه‌بندی کانیابی در کانسار سرگز از قاعده کانسار به سمت بالای توده معدنی با تشکیل زون غنی از پیریت توده‌ای در قاعده توده معدنی، زون توده‌ای غنی از پیریت-کالکوپیریت، زون غنی از کالکوپیریت-اسفالریت و زون لایه‌ای غنی از اسفالریت در بخش جانبی کانسار نمود یافته است. و از پایین به بالا شامل بخش‌های زیر است:

(۱) زون پیریت توده‌ای که شامل پیریت‌های دانه‌درشت تادانه‌متوسط است (شکل ۲-۵-a).

(۲) زون پیریت-کالکوپیریت با بافت توده‌ای که شامل پیریت‌های دانه‌درشت به همراه کالکوپیریت است. کالکوپیریت در بین پیریت‌ها، آثار تحرک دوباره را نشان می‌دهد (شکل ۲-۵-b).

(۳) برش‌های سولفیدی، شامل قطعات ریز و درشت زاویه‌دار تا گردشده پیریت در سیمانی از پیریت‌های ماسه‌ای است. سیمان پیریتی بیش از ۳۰٪ حجم سنگ را تشکیل داده است. به سمت قاعده این زون، بعضی از قطعات پیریت به طور کامل توسط کالکوپیریت جایگزین شده‌اند (شکل ۲-۵-c-d).

(۴) برش پیریت-کربنات (شکل ۲-۵-e) که شامل قطعات درشت نیمه زاویه‌دار تا گردشده پیریت است که در سیمان کربناتی قرار دارند. اندازه هر کدام از قطعات به ۱۰ سانتی‌متر می‌رسد (این اندازه بیانگر اندازه قطعات به دست آمده از مغزه‌های حفاری است و ممکن است اندازه واقعی آنها متفاوت باشد). سیمان میان پیریت‌ها، عمدتاً کربنات به همراه اندکی پیریت دانه‌ریز است. سیمان، بیش از ۲۰٪ حجمی سنگ را تشکیل می‌دهد. قطعاتی از سنگ دیواره کانسار نیز که دگرسانی شدید سریسیتی دارند، در این بخش قابل مشاهده است.

(۵) زون غنی از کالکوپیریت - اسفالریت که در بخش بالایی کانسار دیده می‌شود. این زون غنی از اسفالریت و نیز غنی از کالکوپیریت است.

(۶) زون لایه‌ای غنی از اسفالریت، این زون بافت لایه‌ای و توده‌ای و نیز به صورت برشی در زمینه دارای کربنات و باریت، بیشتر در بخش جانبی کانسار تشکیل شده است (شکل ۲-۵-f).

(۷) رگه‌های کربنات دارای مقداری کالکوپیریت که بخش‌های مختلف زون سولفید

توده‌ای را قطع می‌کنند (شکل ۲-۵-g).

برش عرضی زمین‌شناسی نمادین از کانسار سرگز که نشان‌دهنده منطقه‌بندی در توده معدنی و در هاله دگرسانی زیر کانسنگ است، در شکل ۲-۶ آورده شده است.

۶- کانی‌شناسی کانسار و پارازنز

در این بخش ویژگی‌های بافتی، ژئوشیمی و روابط کانیابی بین کانی‌های اصلی کانسار سرگز توصیف خواهد شد.

۶-۱. پیریت

در سیستم سولفید توده‌ای سرگز، پیریت فراوان‌ترین کانی سولفیدی است و به شکل‌های دانه ریز و اسفلولیتی (شکل‌های ۶-a-۷ و b)، وجده دار دانه‌درشت و گردشده دیده می‌شود (شکل ۶-a). رشد دانه‌های پیریت با بافت فرامبوییدال، سریع تراز رشد اسفالریت دانه‌ریز است، به طوری که طی رشد پیریت، اسفالریت به اطراف دانه‌های پیریت رشد کرده، رانده شده است (شکل ۶-c-۷). پیریت‌های فرامبوییدال، رورشده (Overgrowth) پیدا کرده و بقایابی از بافت‌های کلوفرم در بخش مرکزی پیریت‌های دانه‌درشت دیده می‌شود (شکل ۶-f). پیریت‌های دانه‌درشت در توده معدنی و نیز در زون استرنینگر دیده می‌شوند.

از مقادیر TiO_2 در برابر مقادیر Zr است. در نمودار شکل ۶، سنگ‌های موجود در منطقه به طور آشکار دارای پراکنده‌گی دوگانه (Bimodal) هستند، گروهی که دارای مقادیر بالای Zr/TiO_2 هستند و گروه دیگری که دارای مقادیر پایین نسبت Zr/TiO_2 هستند. سنگ‌های میزان کانسار، ترکیب بازالتی و آندزیتی دارند. سنگ‌های فلزیک منطقه در گروه سنگ‌های ریوداسیتی قرار می‌گیرند.

۵- کانه‌زاپی

براساس اطلاعات بدست آمده از چاههای حفاری، ستبرای بخش سولفید توده‌ای از ۱ تا ۳۵ متر متغیر است. گسل خوردگی موجب تغییر در ریخت توده کانسنسنگ شده است و این ستبراهای ممکن است ستبرای اولیه چینه‌شناسی آن نباشد. کانی‌شناسی کانسنسنگ سولفید توده‌ای، بنسبت ساده و بیشتر شامل پیریت و کالکوپیریت است. دیگر سولفیدهای اولیه شامل اسفالریت، گالان و سولفوسالتس‌های تاناتیت-تراهردیت است. کوارتز، کلسیت، باریت، کلریت، سریسیت و هماتیت، معمول ترین کانی‌های باطله هستند. سه زون اصلی (شکل ۶) در سیستم سولفید توده‌ای سرگز قابل تشخیص است که از پایین به بالا عبارتند از:

(۱) زون رشه‌ای که شامل برش‌های سیلیسی شده سنگ دیواره به همراه برش‌های بازالتی سریسیتی شده و کلریتی شده در بخش‌های ژرف‌تر آن است.

(۲) زون سولفید توده‌ای

(۳) افق ژاسبیلت به همراه افق باریت-کربنات در زیر آن. حال به بررسی ویژگی‌های دیده شده در بخش‌های مختلف سیستم سولفید توده‌ای سرگز از پایین به بالا می‌پردازیم:

۱- زون استرنینگر

زون استرنینگر که نشانگر مسیر عبور سیال‌های کانه‌داری است که توده معدنی را تشکیل داده‌اند (Davis et al., 1992; Nehlig et al., 1994; Tivey et al., 1995) شامل شبکه‌ای نامنظم از رگه و رگچه‌های سولفیدی در زمینه‌ای از برش‌های کانه‌زاپی شده است. زون استرنینگر حدود ۸۰ متر زیر زون سولفید توده‌ای ادامه می‌باید و در ژرف‌ترین بخش زون استرنینگر و بخش‌های جانبی آن، بازالت‌های با دگرسانی بیشتر، اپیدوتی و کلریتی (شکل ۶) که مربوط به دگرسانی کف دریا هستند وجود دارند، که ناشی از فرایندهای دگرسانی دور از مرکز و دور از زون‌های بالارونده سیال‌های گرمابی است. سولفیدهای موجود در زون استرنینگر بیشتر پیریت با مقادیر کمتری اسفالریت، کالکوپیریت و گالان است. در درون زون استرنینگر، کالکوپیریت، اسفالریت و گالان شکستگی‌های پیریت را پر می‌کنند. نسبت سولفیدهای، تعداد و چگالی رگه‌های سولفیدی از پایین به بالا می‌افزایش یافته‌است. این که میزان کالکوپیریت نیز بالا رفته است.

زون استرنینگر منطقه‌بندی (زونینگ) آشکاری از کانی‌های دگرسانی، نشان می‌دهد که این دگرسانی‌ها ناشی از فرایندهای نزدیک به مرکز و متمرکز بوده و در نزدیکی مجرای اصلی تخلیه سیال‌های گرمابی رخ داده است. ژرف‌ترین بخش از زون استرنینگر، زون‌های باقطعات بازالتی برشی شده با دگرسانی به طور چیزی کلریتی و کوارتزی هستند. به سمت بالا، دگرسانی کلریتی به طور تدریجی توسط دگرسانی سریسیتی جایگزین می‌شود، به طوری که در زون میانی، دگرسانی کلریتی در هسته قطعات برش بازالتی با رنگ سبز تیره و دگرسانی سریسیتی در اطراف قطعات بازالت با رنگ بسیار مشخص خاکستری روش دیده می‌شود. زون‌های با شدت دگرسانی بالا، زون‌های شسته شده و سیلیسی شده سنگ‌های بازالتی میزان را درست در زیر کانسار تشکیل داده‌اند. در بالای ترین بخش از زون استرنینگر سیلیسی، زون برشی سولفید-کوارتز شده است. در این بخش قطعات دانه‌درشت و زاویه‌دار پیریت در سیمان دارای کوارتز و پیریت قرار

پیریت‌های دانه‌ریز و بی‌وجه تشکیل شده است. هم‌زمان با پیریت، اسفالریت، گالن، تاتانیت، تترادریت و کالکوپیریت؟ به صورت فرعی تشکیل شده‌اند. بافت‌های اسفلولیتی کولوفرم و فرامبوبیدال براساس مقایسه با کانسارهای VMS امروزی بیانگر کانه‌زایی اولیه بروندمی هستند (Hannington et al., 1995) و می‌توانند به صورت تهنشسته‌های کلولی‌بی‌دی (Ramdohr, 1980)، تبلور سریع ناشی از آمیختگی سیال گرمابی و آب دریا (Eldridge et al., 1983; Xu & Scott, 2005) تبلور سریع و رشد بلوری محدود (Roedder, 1968) یا تبلور سریع و رشد بلوری محدود (Herzig and Hannington, 1995) به وجود آیند.

بافت‌های اولیه در زون رشتۀ‌ای، زون سولفید تودهای و به طور ویژه در زون لایه‌ای غنی از اسفالریت و کربنات بالای زون سولفید تودهای دیده می‌شوند.

۲-۱. مرحله ۲

مرحله دوم کانه‌زایی، مرحله اصلی تشکیل کانی‌های نیمه وجهه‌دار تا بی‌وجه پیریت، اسفالریت، گالن، کوارتز و باریت است. کانی‌های مرحله دوم به طور معمول، بر روی کانی‌های مرحله اول تهنشست کرده‌اند. بافت‌های منطقه‌بندی رشدی در دانه‌های پیریت معمول است. میزان پایین آهن در اسفالریت‌ها، به احتمال قوی وابسته به فاز دما پایین سیال (Scott & Kissin, 1973) و نیز فوگاسیته بالای سولفور (Tivey et al., 1995) است. پیریت‌های مرحله دوم، میزان Co بالاتری دارند که تهنشست آنها را در دماهای بالاتر نشان می‌دهد (Tivey et al., 1995; Huston et al., 1995).

۲-۲. مرحله ۳

مرحله سوم کانه‌زایی و دگرشکلی، مرحله توسعه بافت‌های جایگزینی و دگرشکلی است. وجود دانه‌های گردشده پیریت، اسفالریت و گالن در داخل کالکوپیریت به احتمال قوی ناشی از خوردگی آنها توسط سیال‌هایی است که کالکوپیریت را تهنشست داده‌اند (شکل‌های a-b, c). پیدایش کالکوپیریت به صورت قطع کننده و پرکننده فواصل عدم تبلور در پیریت‌های مرحله دوم (شکل ۳-۹) و به صورت شکل‌های دروغین پیریت‌های کولوفرم اولیه، همگی به عنوان بافت‌های جانشینی انتخابی در نظر گرفته می‌شوند.

۲-۳. مرحله ۴

این مرحله با انحلال کالکوپیریت تشکیل شده در قاعده کانسار و تهنشست آن در بخش‌های بالایی تر همراه است. به طوری که در این مرحله کالکوپیریت‌های تشکیل شده در قاعده کانسار، توسط سیال گرمابی شسته شده و در بخش‌های بالاتر، در جایی که اسفالریت تشکیل می‌شده است، تهنشست یافته‌اند. این مرحله با هجوم سیال غنی از کربنات دارای مس که توده معدنی را قطع می‌کند، دنبال شده است (شکل ۴). در این مرحله، کالکوپیریت، بخش بالایی کانسار را که اسفالریت در حال تهنشینی بوده است، تحت تأثیر قرار می‌دهد و همراه با کربنات در بخش بالایی به همراه اسفالریت‌هایی که اکنون در حال جایگزینی توسط این سیال‌ها هستند تهنشست می‌یابد (شکل ۴-e-f). به دلیل این که جایگزینی اسفالریت در بخش بالایی (فرایند بازیافت زونی؛ zone refining) به طور کامل صورت نگرفته است، در این بخش به همراه کالکوپیریت، اسفالریت نیز به مقدار فراوان دیده می‌شود و نیز به دلیل این که در بخش زیرین، انحلال کالکوپیریت (فرایند فوق بازیافت؛ over refining) به طور کامل صورت نگرفته است، زون‌های دارای پیریت و کالکوپیریت (شکل ۴-۵) نیز در بخش پایین تر کانسار قابل دیدن است.

قابل یادآوری است که در تمامی مراحل بالا، کانی‌های اصلی شکل گرفته در هر مرحله مورد نظر بوده و مسلماً همراه با کانی‌های اصلی مقادیر فرعی از کانی‌های دیگر سولفیدی نیز تشکیل شده است.

مراحل بالا، بیانگر طیفی از تشکیل سولفیدهای با بافت‌های اولیه تا سولفیدهای بافت جایگزینی است که توسط محلول‌های گرمابی دما بالای بعدی تشکیل شده‌اند.

پیریت‌ها، مقادیر متفاوتی از عناصر فرعی شامل As، Co, Se, Sb، Te و Ni دارند. پیریت‌های کولوفرم و فرامبوبیدال (پیریت‌های مرحله اول)، بالاترین میزان As را نسبت به پیریت‌های مرحله دوم دارند (شکل ۸). پیریت‌های و جهدار میزان Co بالاتری دارند. میزان Co در پیریت‌ها عموماً بیشتر از Ni است. پیریت‌ها دارای نسبت Co/Ni بین ۰/۷ تا ۱۲ هستند و میانگین آنها در حدود ۵ است (شکل ۸).

۲-۲. اسفالریت

اسفالریت، دارای ریخت و اندازه دانه متغیر است. اسفالریت‌های با رشد کولوفرم، بی‌وجه و دانه‌ریز (شکل ۲-۵) که باتانتیت و تترادریت به صورت هم‌رشدی شعاعی دیده می‌شوند (شکل ۲-۴)، اسفالریت‌های دانه درشت و اسفالریت‌های گرد شده در زمینه دارای کالکوپیریت که بیانگر جایگزینی اسفالریت توسط کالکوپیریت هستند (شکل ۲-۶). اسفالریت‌ها، فقیر از آهن هستند به طوری که درصد مولی Fe/S دامنه محدودی نشان می‌دهد و میان ۷/۰۲ - ۵۶/۰٪ متغیر است. اسفالریت‌های کولوفرم و بی‌وجه، کمترین میزان آهن (۴/۰۵۶) و بالاترین میزان Cd را دارند (شکل ۸). اسفالریت‌های موجود در زون‌های قاعده‌ای کانسار (اسفالریت‌های دانه درشت) دارای کمتری نسبت به اسفالریت‌های موجود در زون‌های بالایی کانسار (کولوفرم) هستند.

۲-۳. کالکوپیریت

کالکوپیریت کمتر به صورت وجهه‌دار ظاهر می‌شود و به صورت بی‌وجه تشکیل شده است. در زون کالکوپیریت- اسفالریت که میزان اسفالریت به نسبت کمتر و میزان کالکوپیریت بالاتر است، کالکوپیریت، اطراف دانه‌های گرد شده اسفالریت را احاطه کرده است (شکل ۳-۹) و نیز به طور بخشی دانه‌های پیریت را جایگزین کرده است (شکل ۳-۹-a و b). به این ترتیب کالکوپیریت پس از این کانی‌ها ایجاد شده است. تجزیه میکروپرورب کالکوپیریت نشان‌دهنده مقادیری Zn (تا حدود ۷/۰ درصد وزنی) و Cd (تا ۰/۳٪ درصد وزنی) است.

۲-۴. باریت و کربنات

باریت و کربنات، کانی‌های باطنله اصلی در زون سولفید تودهای است و به سمت بخش بالایی زون غنی از اسفالریت، بالاترین مقادیر را دارند. باریت‌ها در اشکال مختلف دیده می‌شوند. باریت‌های دانه‌ریز، غیر وجهه‌دار و یا فیبری (شکل ۷-a) و باریت‌های تیغه‌ای شکل و یا شعاعی. رگه‌هایی از کربنات عدسی سولفیدی را قطع می‌کند. این رگه‌ها به رنگ سفید تا صورتی مایل به سرخ بوده و بیشتر دارای پیریت و کالکوپیریت به مقدار فرعی هستند. کالکوپیریت با کربنات، هم‌رشدی نشان می‌دهد (شکل ۷-e-f) که این مسئله بیانگر رشد هم‌زمان این دو کانی از سیال و نیز مشاً گرمابی کربنات است. کربنات‌ها، تیغه‌های باریت را جایگزین کرده‌اند (شکل ۷-d) که بیانگر رشد تأخیری کربنات نسبت به باریت است.

۷- بحث

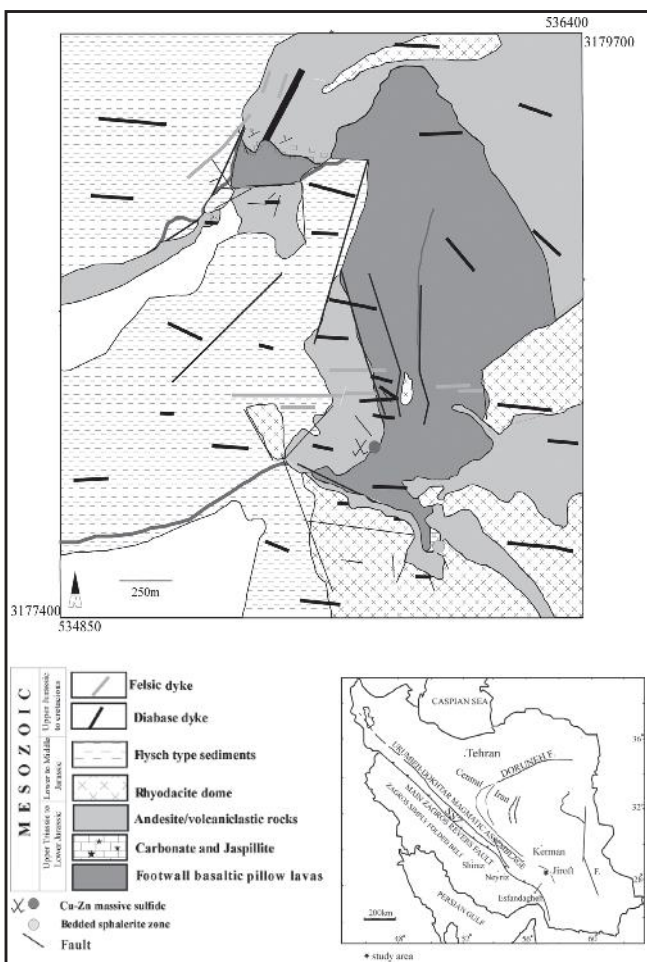
وجود نسل‌های مختلف کانی‌ها در توده معدنی و در زون رشتۀ‌ای گواهی بر رخداد کانسنتگ در چند مرحله است. تفاوت در شکل، اندازه، ترتیب زمانی رشد کانی‌ها و بافت‌های جایگزینی، متغیرهایی هستند که می‌توانند بیانگر فعالیت چند مرحله‌ای سیال‌های گرمابی باشند. بر این اساس، چهار مرحله اصلی کانه‌زایی در بخش سولفید تودهای شناسایی شد که در زیر به توصیف این ویژگی‌ها می‌پردازیم. قابل یادآوری است که فعالیت سیال گرمابی به احتمال به صورت متوالی صورت گرفته و بین مراحل مختلف تهنشست کانه‌ها به احتمال، یک همپوشانی زمانی وجود داشته است.

۷-۱. مرحله ۱

قدیمی‌ترین مرحله کانه‌زایی شناخته شده با تشکیل سولفید بروندمی مشخص می‌شود. پیریت به صورت اسفلولیت‌های کولوفرم و فرامبوبیدال اولیه و یا به صورت

یافته و در بخش بالایی که در تماس با آب دریا است، به صورت بافت‌های اولیه رشد کرده‌اند و سیال‌های دما بالا که به طور مداوم با بالا رفتن دمای سیال از پایین به درون توده اضافه می‌شوند، کانی‌های دما پایین‌تر را جایگزین کرده و زون غنی از پیریت و کالکوپیریت را در بخش‌های زیرین تشکیل داده‌اند. فرایند انحلال-تنهشت مداوم Knuckey et al. (1982) که به فرایند بازیافت زونی معروف است، اولین بار توسط (1982) برای کانسارهای VMS آرکن و Eldridge et al. (1983) برای کانسارهای کروکو میوسن معرفی شد و بر مبنای همبودهای کانیابی دیده شده در کانسار سرگز می‌تواند در مورد سازوکار تشکیل زوینگ در سرگز نیز به کار بrede شود. تنهی شدن تدریجی عناصر از بخش‌های زیرین و مهاجرت آنها به بخش‌های بالا، منجر به باقی‌گذاشتن پسماندهای از پیریت توده‌ای عقیم در کانسار سرگز شده است. بدین ترتیب که در این مرحله، سیال گرمابی به علت درجه حرارت بالا کالکوپیریت را از بخش‌های پایین شسته و در بخش‌های بالاتر تنهشت داده است که این مسئله با وجود رگه‌های کربنات دارای کالکوپیریت که تمامی بخش توده معدنی را قطع می‌کند و حتی به درون سنگ‌های کمر بالا نفوذ می‌کند، تأیید می‌شود. این فرایند که به فرایند فوق بازیافت (over refining) شهرت دارد، در کانسار سولفید توده‌ای ترودوس و نیز در برخی کانسارهای امروزی مانند کانسار TAG در اقیانوس اطلس رخداده است.

(Hannington et al., 1998)



شکل ۱- موقعیت منطقه مورد مطالعه در پهنه‌بندی ساختاری ایران و نقشه زمین‌شناسی ساده شده منطقه سرگز با شبکه‌بندی UTM، برگرفته از نقشه ۱:۲۰۰۰ منطقه سرگز و زاغو (بدرزاده و آقازاده، ۱۳۸۵)

نمودار توالی پاراژنتیکی برای کانی‌های موجود در کانسار در شکل ۱۰ آورده شده است.

۸- نتیجه‌گیری

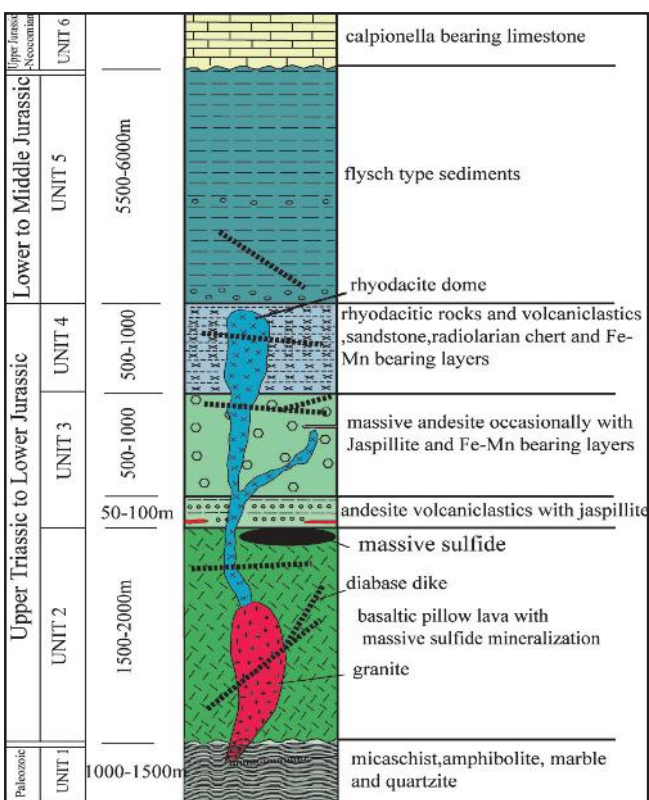
با توجه به روابط چینه‌شناسی و زمین‌شناسی، به نظر می‌رسد کانسار سولفید توده‌ای سرگز در زمان تریاس بالایی-ژوراسیک زیرین تشکیل شده است. تمام شواهد نشان از آن دارد که این کانسار از نوع کانسارهای سولفید توده‌ای آتشفشانزاد است. وجود افق ژاسپیلت در بخش‌های جانبی و در حد فاصل بین سنگ‌های کمرپایین و کمربالای کانسار و لایه‌های آهن-منگنز در بین سنگ‌های کمر بالای کانسار که به عنوان افق نشانگر (marker horizon) Sharpe (1968) نامگذاری شده‌اند، وجود شبکه‌ای گسترده از رگه و رگچه‌های سولفیدی به همراه دگرسانی کلربیتی و سریستی سنگ‌های کمرپایین بازالتی به طور ناهمشیب در زیر توده معدنی، تشکیل کانی پیریت به عنوان سولفید اصلی به همراه مقادیر فرعی از کانی‌های سولفیدی دیگر مانند کالکوپیریت و اسفالریت، وجود ساخت و بافت‌هایی ویژه در درون کانسار مانند ساختهای توده‌ای به همراه ساختهای برشی و منطقه‌بندی مشخص کانیابی در توده معدنی، همگی حاکی از این است که کانسار سرگز از نوع کانسارهای سولفید توده‌ای آتشفشانزاد است. این نوع مختلف بافت و ساختهای دیده شده در کانسار سرگز حاکی از دوره‌های مختلف فعالیت گرمایی همراه با فعالیت‌های دینامیکی است. برش‌های سولفیدی که شاهد وقوع بسیار گسترده آنها در کانسار سرگز هستند، طبق نظر Hannington et al. (1998) به نظر می‌رسد که انحلال اندیریت به همراه تنسهای گسترده طی حواضث دینامیکی مانند زمین‌لرزه، سازوکار مهمی در تشکیل کانسارهای برشی در کانسارهای سولفیدی کف دریاست. تشکیل این برش‌های سولفیدی در کانسارهای امروزی و نیز در کانسارهای قدیمی مانند سرگز می‌تواند کلیدی بر حضور اولیه خمیره (ماتریکس) غنی از اندیریت باشد که برای مدت طولانی حفظ نشده است. کانسار سولفید توده‌ای سرگز دارای زون‌های سولفیدی با ساخت برشی در بخش مجرای اصلی سیال گرمایی است. در مورد تشکیل این زون‌های برشی می‌توان گفت که سولفیدها از راه شبکه‌ای از رگه‌ها توسط جریان سیال‌های داغ گرمایی به کف دریا می‌رسند و اندیریت در درون زون بالارونده به دلیل داغ شدن تدریجی آب دریا که به سمت پایین به درون عدسی سولفیدی حرکت می‌کرده، تشکیل شده است و دودکش‌های سولفیدی مادامی که سیال گرمایی درجه بالا تداوم داشته است، در حال رشد بوده‌اند. ولی با توجه به این که جریان درجه حرارت بالا طی تشکیل کانسار دوره‌ای بوده است، دودکش‌ها در بخش مرکزی به طور دوره‌ای در نتیجه انحلال اندیریت، ریزش پیدا می‌کرده‌اند. طی دوره‌های نبود فعالیت، نفوذ آب دریای سرد به درون کانسار، باعث انحلال اندیریت به جای تنهشت آن به دلیل کاهش دما در هسته عدسی سولفید توده‌ای شده است و ریزش دودکش و برشی شدن را به دنبال داشته است.

یکی از ویژگی‌های بسیار آشکار در کانسار سرگز، وجود منطقه‌بندی کانیابی در بخش سولفید توده‌ای است. با تمرکز بر روابط بین کانی‌ها و ریخت آنها، می‌توان تفسیر مناسبی برای رخداد این پدیده ارائه کرد. بدین ترتیب که تشکیل کانی‌های پیریت، اسفالریت، گالن، تراهادریت و تنانیت با بافت‌های اولیه مانند اسفلولیت‌های کولوفرم و فراموبوییدال در بالاترین بخش توده معدنی و در زون غنی از اسفالریت، بیانگر تنهشت سولفیدها در مراحل اولیه و در دماهای پایین تر سیال است. همان‌طور که دمای سیال افزایش یافته است، محلول‌های غنی از CO_2 ، زون استرینگر و زون سولفید توده‌ای شکل گرفته در بستر دریا را مورد هجوم قرار داده‌اند و بدین ترتیب توده معدنی در دو مسیر حرکت کرده است، کانی‌های درجه حرارت پایین تر انحلال

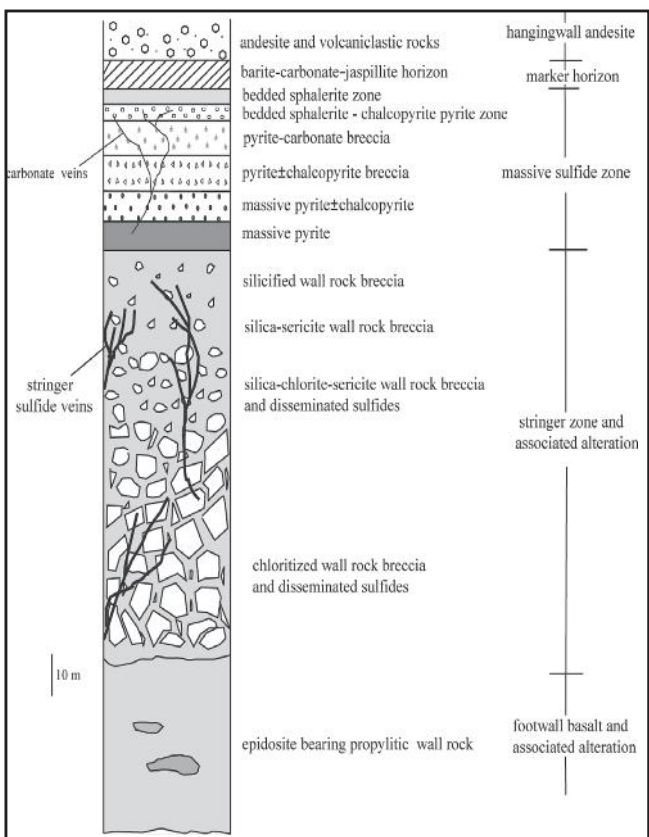
جدول ۱- داده‌های تجزیه الکترون میکروپرورب کانی‌های سولفیدی کانسار سرگز.

Sample	1	2	3	4
Mineral	Py	Py	Py	Py
Fe	44.9	46.193	46.264	45.239
S	51.9	53.381	53.583	52.689
Co	0.015	0.041	0.121	0.014
Ni	0.024	0.043	0.036	0.021
As	2.632	0	0.001	0.838
Se	0.023	0	0	0.022
Sb	0.236	0	0	0.019
Te	0.032	0.01	0	0.016
Total	99.761	99.668	100.004	98.856

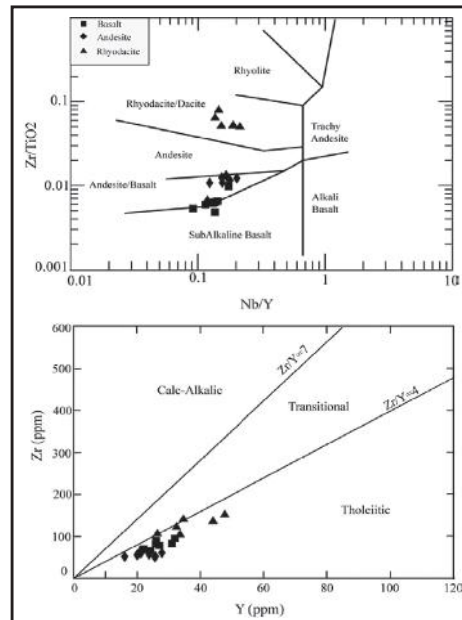
Sample	1	2	3	Sample	1	2
Mineral	Cpy	Cpy	Cpy	Mineral	Sph	Sph
Fe	30.1027	30.703	32.0045	Fe	0.313	3.914
S	34.9768	35.1257	34.4271	S	32.976	32.996
Cu	34.2911	33.4255	33.7054	Cu	0.089	0.059
Zn	0.0271	0.018	0.0352	Zn	65.855	62.577
Cd	0.0201	0.0137	0	Cd	0.094	0.261
Co	n.a.	n.a.	n.a.	Co	0.014	0.021
Ni	n.a.	n.a.	n.a.	Ni	0.01	0.018
As	n.a.	n.a.	n.a.	As	0	0
Total	99.4178	99.2859	100.172	Total	99.353	99.846



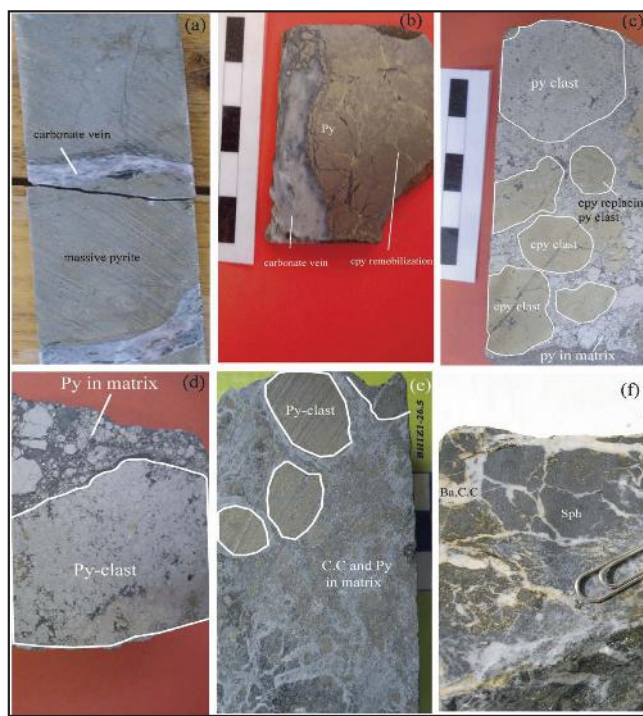
شکل ۲- ستون چینه‌شناسی واحدهای سنگی منطقه و موقعیت کانسار سولفیدی تودهای سرگز



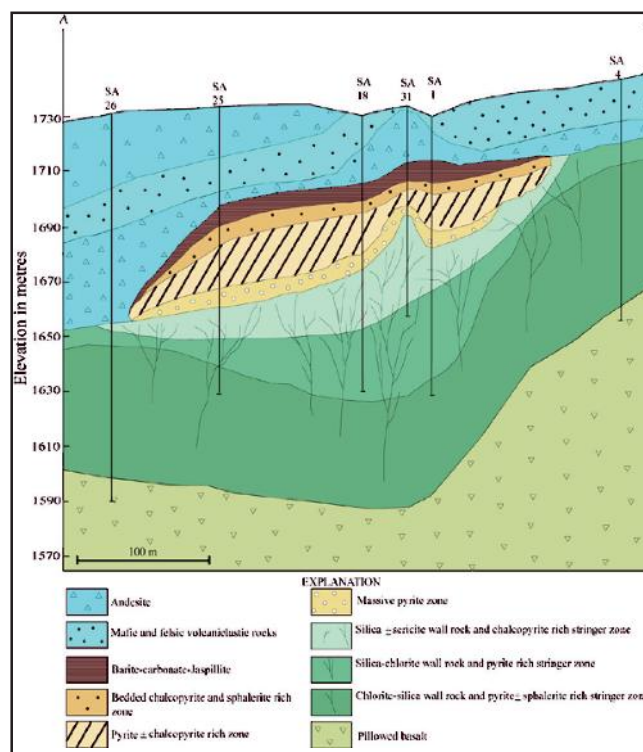
شکل ۴- ستون چینه‌شناسی کانسار سولفیدی تودهای سرگز



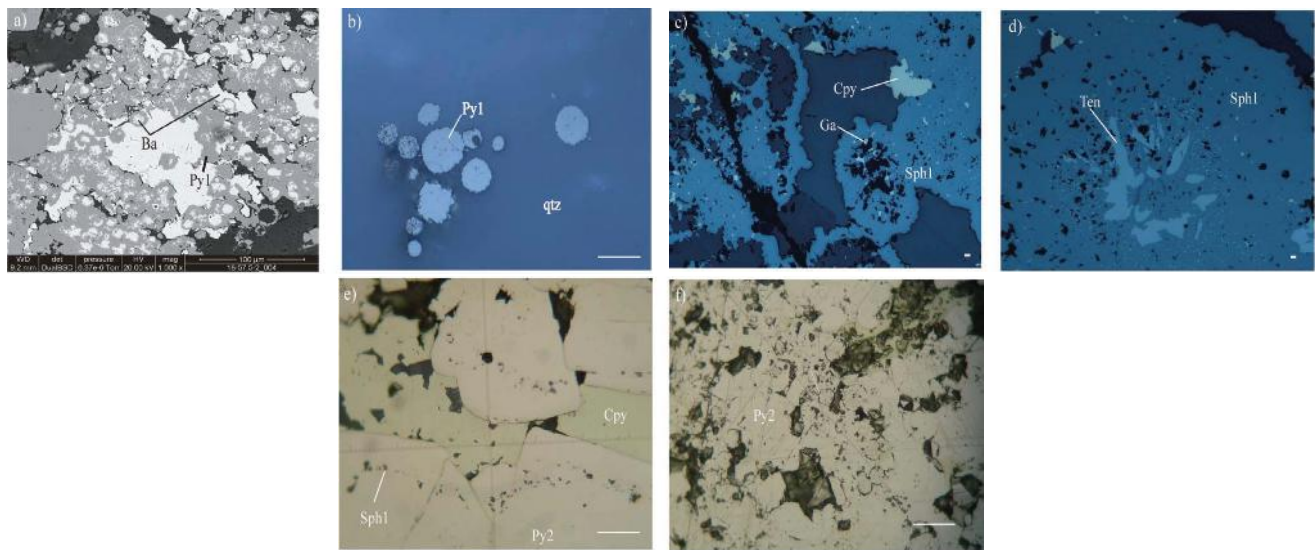
شکل ۳- نمودار Zr/TiO_2 در برابر Y (Winchester & Floyd, 1977) (Nb/Y) که به ترتیب ترکیب بازلاتی، آندزیتی بازلاتی و ترکیب ریودادیتی گذازه‌های کمرپایین و کمربالای کانسار سرگز و گبدهای اسیدی و گراویت نیمه قلایی آنها را تشاند می‌دهد و نمودار تشخیصی Barrett & MacLean, 1999) $\text{Y}-\text{Zr}$ برای سنگ‌های آتشفسانی منطقه سرگز. سنگ‌های بازی منطقه در محدوده سنگ‌های تولیتی و سنگ‌های فلزیک در محدوده سنگ‌های تولیتی تا انتقالی قرار می‌گیرند.



شکل ۵- منظره عمومی از زون سولفید توده‌ای حاوی بخش‌های برشی و توده‌ای.
 (a) پیریت توده‌ای گرانولار به همراه رگه‌های کربناتی، (b) پیریت و کالکوپیریت(cpy) توده‌ای که توسط رگه کربناتی قطع شده است. کالکوپیریت(cpy) آثار مویلیزاسیون را نشان می‌دهد.
 (c) برش سولفیدی، قطعات زاویه‌دار تا گردشده سولفیدی که در زمینه سولفیدی قرار دارند و برخی از قطعات پیریت و نیز پیریت‌های موجود در خمیره توسط کالکوپیریت(cpy-clast) در حال جایگزین شدن هستند (d) برش سولفیدی، قطعات زاویه‌دار تا گردشده پیریت که در سیمان حاوی پیریت ماسه‌ای(Py) و کربنات(C.C.) قرار دارند. (e) برش پیریت - کربنات، قطعات نیمه زاویه‌دار تا گردشده پیریت که در زمینه کربناتی(C.C.) قرار دارند. (f) زون غنی از اسفالریت(Ba) و کربنات(C.C.) که به طور عمده در بخش جانبی کانسارت شکل شده است.

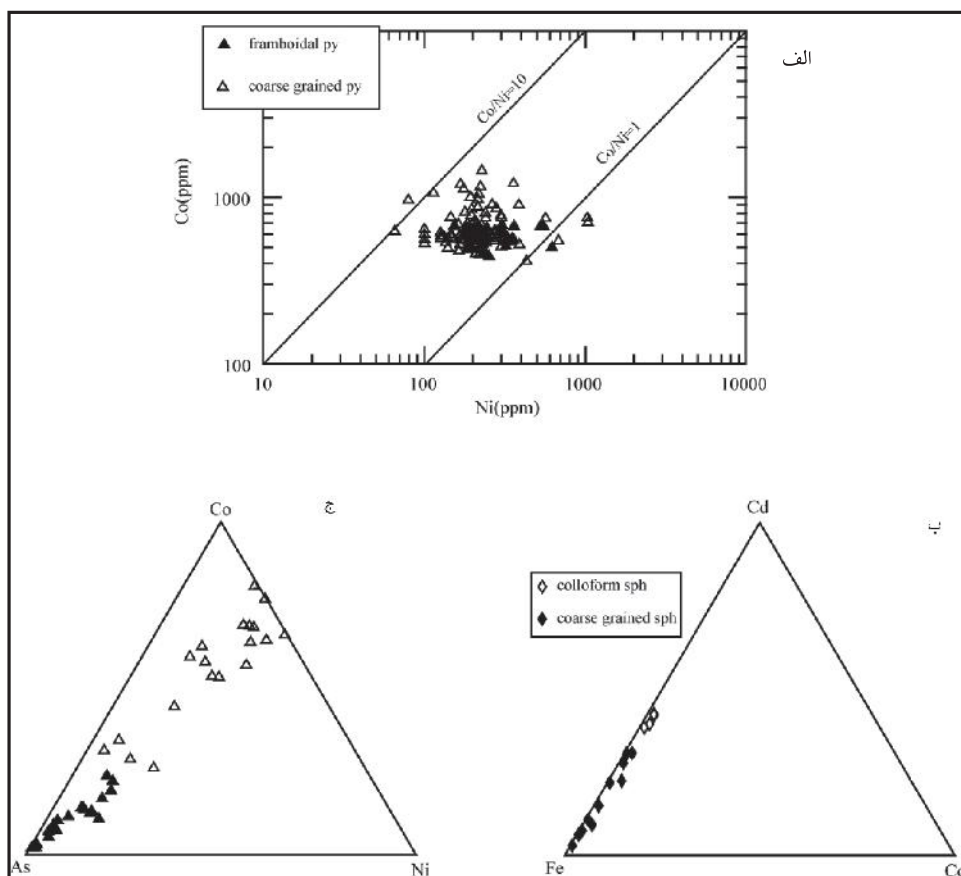


شکل ۶- برش عرضی زمین‌شناسی نمادین از کانسارت‌گر (Ja=Jaspillite; Ba=Barite; C.C.=Carbonate; Py=Pyrite; Cpy=Chalcopyrite; Sph=Sphalerite)

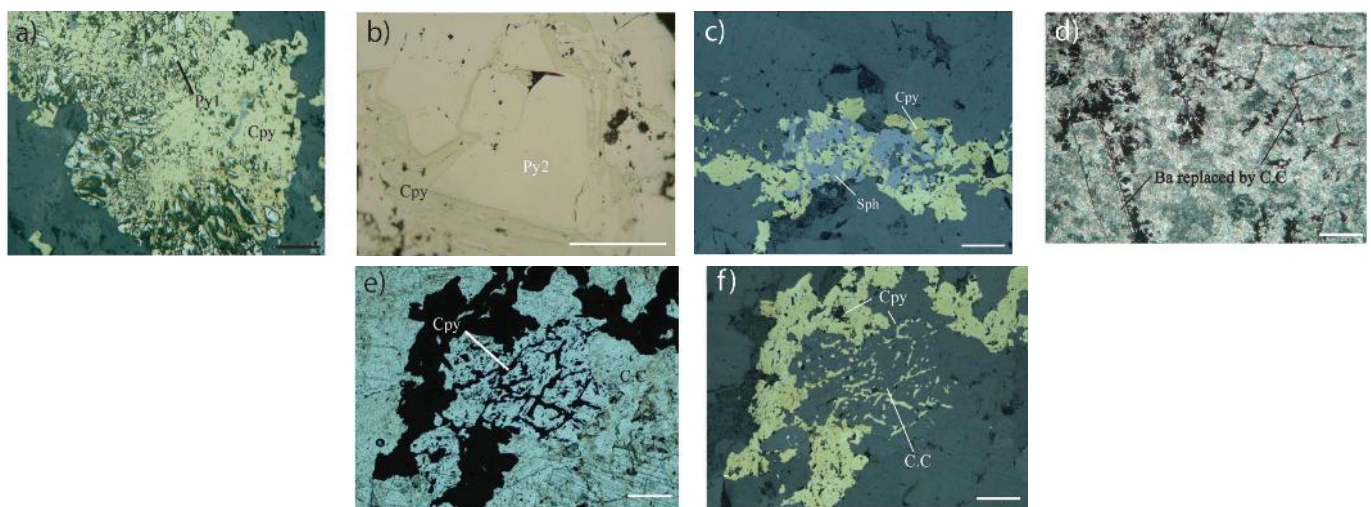


شکل ۷- بافت‌های مرحله اول که در هر سه زون استرینگر، توهدای و لایه‌ای دیده می‌شوند (a تا d) و بافت‌های مرحله دوم کانهزاپی که با توسعه کانی‌های درشت‌تر و نیمه‌وجهدار همراه است (e و f). خط مقیاس در همه تصاویر $100\text{ }\mu\text{m}$ است.

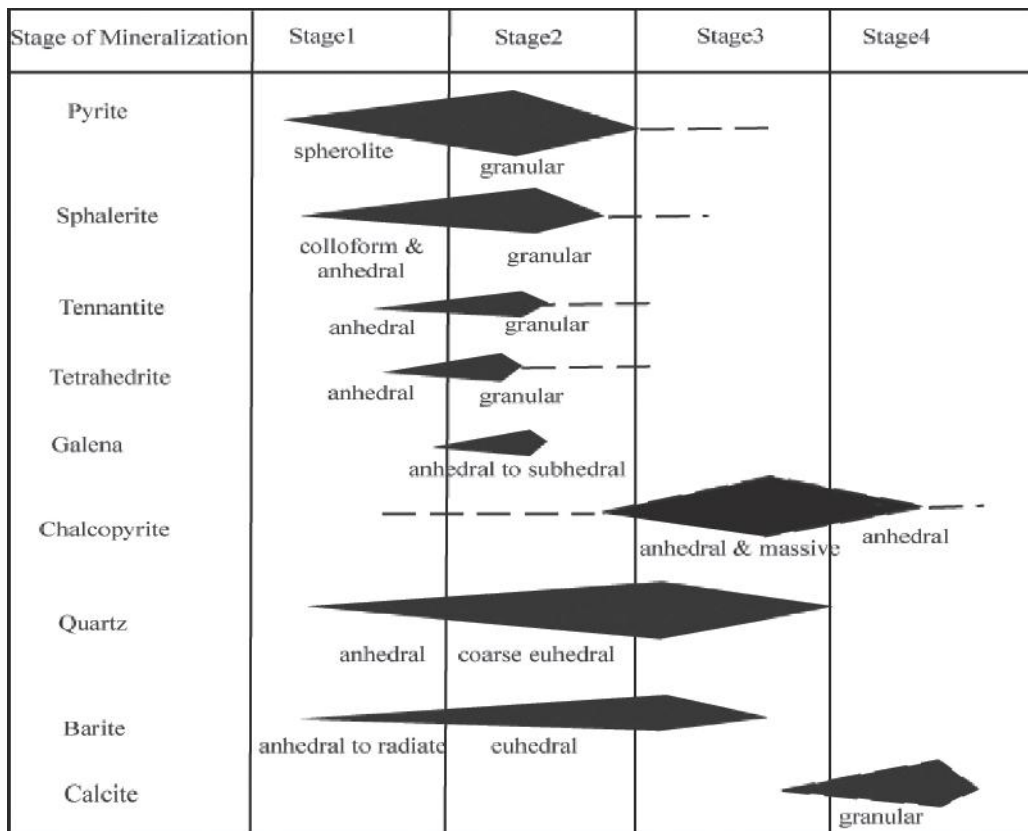
(a) پیریت‌های کلوفرم مرحله اول به همراه باریت اولیه که به صورت بروندی و با هم تشکیل شده‌اند. (b) اسفلالیت‌های فرامبوییدال پیریت همراه با کوارتز‌های بی‌شکل. (c) اسفلالیت مرحله اول با بافت کلوفرم که دارای گالن در درون آن است. (d) همرشدی شعاعی بین اسفلالیت و تناتیت در زون غنی از اسفلالیت. (e) رشد پیریت‌های دانه‌درشت و نیمه‌وجهدار مرحله دوم که همزمان با آن اسفلالیت‌ها به سمت حاشیه کشیده شده‌اند. (f) پیریت‌های دانه‌درشت مرحله دوم که در بخش مرکزی آثار پیریت‌های کلوفرم اولیه دیده می‌شود.



شکل ۸- (الف) مقادیر کربالت در برابر نیکل در پیریت‌های موجود در کانسار سولفید توهدای سرگز. (ب) نمودار $\text{Fe}-\text{Cd}-\text{Co}$ نشان‌دهنده میزان Cd در اسفلالیت‌های کلوفرم نسبت به اسفلالیت‌های شکل‌دار دانه درشت. (ج) نمودار $\text{As}-\text{Co}-\text{Ni}$ نشان‌دهنده میزان بالای As در پیریت‌های کلوفرم نسبت به پیریت‌های شکل‌دار دانه درشت.



شکل ۹- بافت‌های مرحله سوم شکل‌های a تا c (یانگر توسعه بافت‌های جانشینی) و بافت‌های مرحله چهارم کانه‌زایی، شکل‌های d تا f (یانگر هجوم سیال غنی از کربنات به همراه کالکوپیریت). خط مقیاس در تمامی تصاویر $100\text{ }\mu\text{m}$ است(a) پیریت‌های کولوفرم مرحله اول (Py1) که در حال جایگزین شدن توسط کالکوپیریت هستند.(b) پیریت وجه دار مرحله دوم (Py2) که فواصل عدم تبلور آن به طور انتخابی در حال جایگزین شدن کامل توسط کالکوپیریت است.(c) اسفالریت (Sph) که در حال جایگزین شدن توسط کالکوپیریت است.(d) باریت‌های وجه دار مرحله دوم (Ba) که توسط کربنات (C.C) جایگزین شده‌اند.(e) همرشدی کالکوپیریت (Cpy) و کربنات (C.C) مرحله چهارم در زون غنی از کالکوپیریت و اسفالریت در نور عبوری.(f) همرشدی کالکوپیریت و کربنات مرحله چهارم در زون غنی از کالکوپیریت و اسفالریت در نور انعکاسی.



شکل ۱۰- نمودار توالی همبودی (پاراژنزی) مراحل چهار گانه تشکیل کانی‌های هیپوزن در کانتسار سرگز

کتابنگاری

- بدر زاده، ز. و آقازاده، م.، ۱۳۸۵- نقشه زمین‌شناسی منطقه معدنی سرگز و زاغو به مقیاس ۱:۲۰۰۰.
سیزه‌ئی، م. و یوسفی، ا.ق.، ۱۳۷۹- دیباچه‌ای بر زمین‌شناسی و اکتشافات معدنی کانسار سولفید تودهای سرگز کوه جیرفت (جنوب شرقی ایران)، شرکت آرمان پژوهه سیزه‌واران، ۵۹ صفحه.
- سیزه‌ئی، م. و یوسفی، ا.ق.، ۱۳۸۱- گزارش پایان عملیات اکتشافی معدن مس سرگز کوه جیرفت، شرکت آرمان پژوهه سیزه‌واران، ۵۲ صفحه.
- مهندسين مشاور خدمات زمین فزييک، ۱۳۸۰- گزارش مطالعات ژئوفيزيک در معادن سرگز کوه جیرفت (مرحله اول و دوم)، ۳۷ صفحه.
- شهرکي قديمى، ع.، ۱۳۸۲- نقشه زمین‌شناسی سازمان زمین‌شناسی و اکتشافات معدنی کشور.

References

- Alt, J. C., 1999- Hydrothermal alteration and mineralization of oceanic crust: Mineralogy geochemistry and processes: Rev in Econ Geol 8: 133-155.
- Barrett, T. J. & MacLean W. H., 1999- Volcanic sequences, lithogeochemistry and hydrothermal alteration in some bimodal volcanic-associated massive sulfide systems. In Volcanic-Associated Massive Sulfide Deposits: Processes and Examples in Modern and Ancient Environments. Edited by C. T. Barrie and M. D. Hannington. Society of Economic Geologists, Rev in Econ Geol 8: 101-131.
- Davis, E. E., Mottl M. J. & Fischer A. T., 1992- Proc ODP, Init Rep 139
- Eldridge, C. S., Barton, P. B., Jr. & Ohmoto, H., 1983- Mineral textures and their bearing on formation of the Kuroko orebodies. In Ohmoto, H. & Skinner, B. J. (Eds.), The Kuroko and Related Volcanogenic Massive Sulfide Deposits. Econ. Geol. Monogr., 5:241-281.
- Hannington, M. D., Tivey, M. K., Larocque, A. C. L., Petersen, S. & Rona, P. A., 1995- The occurrence of gold in sulfide deposits of the TAG hydrothermal field, Mid-Atlantic Ridge. Can. Mineral., 33:1285-1310.
- Hannington, M. D., Galley, A. G., Herzig, P. M. & Petersen, S., 1998 - COMPARISON OF THE TAG MOUND AND STOCKWORK COMPLEX WITH CYPRUS-TYPE.
- Herzig, P. M. & Hannington, M. D., 1995- Polymetallic massive sulfides at the modern seafloor, A review, Ore Geology Reviews 10, 95-115
- Honnorez, J., 2003- Hydrothermal alteration vs. ocean -floor metamorphism. A comparison between two case histories:the TAG hydrothermal mound(Mid Atlantic Ridge)vs. DSDP/ODP hole 504B(Equatorial East Pacific),Geoscience,C.R.335,781-824.
- Humphris, S. E. & Thompson, G., 1978- Hydrothermal alteration of oceanic basalts by seawater. Geochim. Cosmochim. Acta, 42:107-125.
- Huston, D. L., Power, M., Gemmell, J. B. & Large, R. R., 1995- Design, calibration and geological application of the first operational Australian laser ablation sulphur isotope microprobe. Aust J Earth Sci 42:549-555
- Knuckey M. J., Watkins J. J. , 1982- The geology of the Corbet massive sulphide deposit Noranda district, Quebec, Canada. In: Hutchinson RW, Spence CD, Franklin JM (eds), Precambrian sulphide deposits. H.S. Robinson Memorial Vol., Geol Ass Can Spec Pap 25: 297±317
- Nehlig, P., Juteau, T., Bendel, V. & Cotten, J., 1994- The root zone of oceanic hydrothermal systems: constraints from the Samail ophiolite (Oman). J. Geophys. Res., 99:4703-4713.
- Ramdonr, P., 1980- The Ore Minerals and Their Intergrowths, 2nd edn. International Series in Earth Sciences, Pergamon, Oxford. No. 35, Pergamon, Oxford.
- Roedder, E., 1968- The noncolloidal origin of colloform textures in sphalerite ores. Economic Geology, 63, 451-471.
- Sabzehei, M., 1974- Les melanges ophiolitiques de la region d Esfandagheh. These, Universite de Grenoble, France, 303 pages.
- Scott, S. D. & Kissin, S. A., 1973- Sphalerite composition in the Zn-Fe-S system below 300°C. Econ. Geol. 68,475-479
- Seyfried, W. E. Jr & Bischoff, J. L., 1981- Experimental seawater-basalt interaction at 300°C, 500 bars, chemical exchange, secondary mineral formation and implications for the transport of heavy metals: Geochim Cosmochim Acta 45: 135-147
- Sharpe, J. I., 1968-Geology and sulfide deposits of the Mattagami area. que. Dep. Nat. Resou. Geol. Rep.,13
- Tivey, M. K., Humphris, S. E., Thompson, G., Hannington, M. D. & Rona, P. A., 1995- Deducing patterns of fluid flow and mixing within the TAG active hydrothermal mound using mineralogical and geochemical data. J. Geophys. Res., 100:12527-12555.
- Winchester, J. A. & Floyd, P. A., 1977, Geochemical discrimination of different magma series and their differentiation products using immobile elements. Chemical Geology, 20, p. 325-343.
- Xu, Q. & Scott, S. D., 2005- Spherulitic pyrite in seafloor hydrothermal deposits:products of rapid crystallization from mixing fluids, In:Mao, J. & Bierlin(eds), Mineral deposit research:meeting the global challenge, Vol.1, 711-713.

Keywords: Seismic Tomography, Tomogram, Dam, Seepage, Seismic, Inversion, Lugeon, Seepage Potential

For Persian Version see pages 71 to 78

*Corresponding author: Y. Sharghi; E-mail: YSharghi@sut.ac.ir

Calcareous Algae of the Permian Deposits in Central Alborz: An Environmental and Sequence Stratigraphic Approach

H. Mosadegh¹ & M. Lankarani^{2*}

¹ Faculty of Geoscience, Damghan University, Damghan, Iran

² Faculty of Geology, University College of Science, University of Tehran, Tehran, Iran

Received: 2008 December 27

Accepted: 2009 March 04

Abstract

The carbonate facies of Permian in Gaduk area (Central Alborz) are dominated by calcareous algae. Study of the facies resulted in recognition of several species of Cyanobacteria, Dasycladacean and Gymnocodiacean green algae and also Phylloid algae. In the studied succession, Phylloid algae are identified in carbonate shoal facies. Cyanobacteria mostly occurred in tidal to lagoonal facies, as encrusters. Dasycladacean and Gymnocodiacean green algae mostly occurred in inner ramp facies. Gymnocodiaceans were found in deeper parts in comparison to Dasycladaceans. Occurrence of Cyanobacteria in depositional sequences coincides with type-one sequence boundaries. Phylloid algae are identified in the facies related to transgressive surfaces and maximum abundance of Dasycladaceans and Gymnocodiaceans was found around maximum flooding surfaces and in highstand systems tracts. Abundance of the calcareous algae shows an increasing trend from the base to the top of carbonate parasequences. Proliferation of the calcareous algae was found in close relationship to climate warming and ice-house to green-house transition in Permian of Alborz.

Keywords: Permian, Central Alborz, Calcareous Algae, Environmental Condition, Sequence Stratigraphy

For Persian Version see pages 79 to 84

* Corresponding author: M. Lankarani ; E-mail: mlankarani@khayam.ut.ac.ir

Various stages of Sulfide Mineralization in Sargaz Volcanogenic Massive Sulfide Deposit, Northwest Jiroft, Southern Sanandaj-Sirjan

Z. Badrzadeh^{1*}, M. Sabzehei², E. Rastad¹, M. H. Emami², D. Gimeno³

¹Department of Geology, Faculty of Basic Sciences, Tarbiat Modares University, Tehran, Iran.

²Geological Survey of Iran, Tehran, Iran.

³University of Barcelona, Barcelona, Spain.

Received: 2008 April 22

Accepted: 2009 April 06

Abstract

The Sargaz massive sulfide deposit is situated near Jiroft (south-east Kerman), in the southern Sanandaj-Sirjan Zone. The host rocks are Upper Triassic to lower Jurassic(?) pillow basalt. The occurrence of mineralization in basaltic to basaltic andesite, the existence of Jaspilite and Fe-Mn horizons in distal part of the deposit, the occurrence of a stringer zone discordantly under massive ore, the presence of pyrite as the main sulfide mineral, brecciated textures and mineralogical zonation in the massive ore, all suggest that the Sargaz deposit can be classified as a volcanogenic massive sulfide deposit. The mineralogy is reasonably simple, with pyrite being the main sulfide mineral, with lesser chalcopyrite and sphalerite. On the basis of different generation of minerals, shape, size, their mutual geometry, relative timing of crosscutting structures and replacement features, brecciated textures and mineralogical zonation indicate that the growth history of the Sargaz deposit was complex due to syn and post depositional processes. Based on mineralogical, textural and paragenetic relationships, four principal stages of mineralization are recognized. Stage I mainly consist of fine grained pyrite (As rich), and locally sphalerite, quartz and barite. Framboidal pyrite, colloform

pyrite and sphalerite were formed during this stage. After stage I mineralization, collapse of the sulfide mounds took place probably due to dissolution of anhydrite matrix, producing accumulations of pyrite breccias. Following this mound collapse, during stage II, pyrite (Co rich), sphalerite, tetrahedrite-tennantite and galena were formed as euhedral and coarse grains. Stage III deposits consist of chalcopyrite replacements and zone refining process. During this stage, due to zone refining, a chalcopyrite-pyrite zone was developed at the lower part of the massive sulfide lens and a sphalerite-rich zone formed in the upper part. During stage IV, over refining process, led to the dissolution of stage III chalcopyrite and base-metal depleted pyrite body in the lowermost part of the massive sulfide lens and carbonate veins were emplaced into the sulfide lens replacing earlier barite.

Keywords: Massive sulfide, Zone refining, Basalt, Sanandaj-Sirjan, Sargaz, Iran

For Persian Version see pages 85 to 94

*Corresponding author: Z. Badrzadeh; E-mail: zahrabadrzadeh@yahoo.com

Chronology of Last Earthquake on Firouzkuh Fault using by C14

H. Nazari^{1,2*}, J-F. Ritz², R. Walker³, R. Salamat⁴, A. Ghasemi⁴ & A. Shafei⁴

¹ Research institute for Earth Sciences, Geological Survey of Iran, Tehran, Iran.

² Laboratoire Géosciences Montpellier, Université Montpellier, France.

³ COMET, Department of Earth Sciences, University of Oxford, Oxford, UK

⁴ Geological Survey of Iran, Tehran, Iran

Received: 2008 December 21 Accepted: 2009 April 18

Abstract

The Firouzkuh Fault in most of its extension is located at the southern side of Firouzkuh Valley in west of the Central Alborz. It is a SW – NE prominent structure with a 70 km long on a sinistral –normal fault. It has been known as a south-dipping reverse fault. Paleoseismic analysis and C14 dating along the Firouzkuh left -lateral strike-slip fault indicate that Central Alborz has been shaken by large earthquakes during the Holocene. Here we present the data carried out of one of the two excavated trenches with 40 m long, 2m wide, ~ 4m deep in the east of Firouzkuh, where we found some evidence for last paleoearthquake associated to seismic re-activity on Firouzkuh Fault in the second trench (F2) that dug across a gauge zone. The last event is evidenced by cutting young superficial deposit where this faulted unit stratigraphically covered alluvium deposits yielded dated human bones fragments. The bones found in 60-70cm-deep of trench which a C14 age of 1159 ± 28 BP. Regarding to estimated slips per event on paleoseismological log of eastern wall of trench F1, event magnitudes for each paleoearthquakes are M≈7.

Keywords: Firouzkuh, Paleoseismology, Carbon 14, Trench.

For Persian Version see pages 95 to 98

* Corresponding author: H. Nazari ; E_email: h.nazari@gsi.ir